

This airborne geophysical survey and the production of this map were funded by the Saskatchewan Ministry of Energy and Resources and the GEM-Energy Program of the Earth Sciences Sector, Natural Resources Canada.

Ce levé géophysique aéroporté et la production de cette carte ont été financés par le ministère de l'Énergie et des Ressources de la Saskatchewan et le programme GEM-Energie du Secteur des sciences de la Terre, Ressources naturelles Canada.

GSC OPEN FILE 6781 / DOSSIER PUBLIC 6781 DE LA CGC
SMER OPEN FILE 2011-16

GEOPHYSICAL SERIES / SÉRIE DES CARTES GÉOPHYSIQUES

AIRBORNE GEOPHYSICAL SURVEY OF THE NORTHWESTERN ATHABASCA BASIN, SASKATCHEWAN
LEVÉ GÉOPHYSIQUE AÉROPORTÉ DE LA PARTIE NORD-OUEST DU BASSIN ATHABASCA, SASKATCHEWAN

NTS 74 K/06 Jolley Lake / SNRC 74 K/06 Jolley Lake

URANIUM / POTASSIUM

Authors: Fortin, R., Coyle, M., Buckle, J.,
Hefford, S.W. and Delaney, G.

Data acquisition, compilation and map production by Géodis Airborne Surveys, Saskatoon, Saskatchewan. Contract and project management by the Geological Survey of Canada, Ottawa, Ontario.

Scale 1:50 000 - Échelle 1/50 000

mètres 1000 0 1000 2000 3000 mètres

NAE93 / UTM zone 13N

Universal Transverse Mercator Projection
World Geodetic System 1984
Other Majority the Queen in Right of Canada 2011

Digital topographic data provided by Geomatics Canada, Natural Resources Canada
Données topographiques numériques de Géomatique Canada, Ressources naturelles Canada

Auteurs : Fortin, R., Coyle, M., Buckle, J.,
Hefford, S.W. et Delaney, G.

L'acquisition, la compilation des données ainsi que la production des cartes furent effectuées par Géodis Airborne Surveys, Saskatoon, Saskatchewan. La gestion et la supervision du projet furent effectuées par la Commission géologique du Canada, Ottawa, Ontario.

MAP SHEET SUMMARY / SOMMAIRE DES FEUILLETS	
Sheet	MAP / CARTE
Feuillet	Natural Air Absorbed Dose Rate
	Taux d'absorption naturel des rayons gamma dans l'air
1.	Potassium
2.	Uranium
3.	Thorium
4.	Uranium / Thorium
5.	Uranium / Potassium
6.	Thorium / Potassium
7.	Thorium / Potassium
8.	Temary Radiocarbone Map
9.	Diagramme temporel des radiocarbones
10.	Total Radioactive Dose
	Dose radioactive totale
	First Vertical Derivative of the magnetic field
	Dérivée première verticale du champ magnétique

OPEN FILE 2011-16	
SASKATCHEWAN MINISTRY OF ENERGY AND RESOURCES	2011
SHEET 6 OF 10	FEUILLET 6 DE 10

OPEN FILE DOSSIER PUBLIC 6781	
GEOLOGICAL SURVEY OF CANADA COMMISSION GÉOLOGIQUE DU CANADA	2011
SHEET 6 OF 10	FEUILLET 6 DE 10

NORTHWESTERN ATHABASCA BASIN GEOPHYSICAL SURVEY, SASKATCHEWAN

Introduction

A quantitative gamma-ray spectrometric and aeromagnetic survey of the Northwestern Athabasca Basin, Saskatchewan, was completed by Géodis Airborne Surveys. The survey was flown from July 24 to September 21, 2010, using two Piper PA-31 Navajo aircraft (C-GJBA, C-GJB) and one Cessna Caravan (C-GLDX). The survey was conducted in two phases: a 200 km² area around the town of Jolley Lake, and a 270 km² area to the west of Jolley Lake. The survey was conducted in two phases: a 200 km² area around the town of Jolley Lake, and a 270 km² area to the west of Jolley Lake. The survey was conducted in two phases: a 200 km² area around the town of Jolley Lake, and a 270 km² area to the west of Jolley Lake. The survey was conducted in two phases: a 200 km² area around the town of Jolley Lake, and a 270 km² area to the west of Jolley Lake.

Gamma-ray Spectrometry Data

The airborne gamma-ray measurements were made with a Radiation Solutions RS-500 gamma-ray spectrometer using fourteen 102x102x400 mm NaI (TI) crystals. The main detector array consisted of twelve crystals (total volume 50.4 litres), shielded by the main array, were used to detect variations in background radiation caused by atmospheric radon. The system constantly monitored the natural thorium peak for each crystal, and using a Gaussian least squares algorithm adjusted the gain for each crystal.

Potassium was measured directly from the 1660 keV gamma-ray photons emitted by K^+ , whereas uranium and thorium are measured indirectly from gamma-ray photons emitted by their parents; namely, gamma-ray spectrometric measurements of uranium and thorium are referred to as equivalent uranium and equivalent thorium, i.e. U_{eq} and T_{eq} . The energy windows used to measure potassium, uranium and thorium are respectively: 1370-1660 keV, 1660-1860 keV, and 2410-2810 keV.

Gamma-ray spectra were recorded at one-second intervals. Data processing followed standard procedures as described in IAEA, 1991 and IAEA, 2003. During processing, the spectrum was energy calibrated, and counts were accumulated into the windows defined above. Counts from the radon calibration were used to correct for dead time, the energy calibration was checked against the radon calibration, and the window dose was corrected for dead time, air and detectors. Corrections for deviations from the planned terrain clearance and for variation of temperature and pressure were made prior to conversion to ground concentrations of potassium, uranium and thorium, using factors determined by light flight over Saskatchewan. The factors for potassium, uranium and thorium are listed in Table 1.

	C-GJBA	C-GJB	C-GLDX
Potassium (cps%)	63.27	62.05	99.73
Uranium (cps/pm)	10.48	10.88	10.30
Thorium (cps/pm)	5.61	5.73	5.73

Table 1. Gamma Ray Spectrometer Sensitivities for each aircraft

Corrected data were filtered and interpolated to a 100 m grid interval. The results of an airborne gamma-ray spectrometer survey represent the average surface concentrations that are influenced by varying amounts of outcrop, overburden, vegetation cover, soil moisture and surface water. As a result the measured concentrations are usually lower than the actual bedrock concentrations. The total air absorbed dose in nanograys per hour was produced from measured counts between 400 and 2100 keV.

Geometric Data

The magnetic field was sampled 10 times per second using a cold-beam cesium vapour magnetometer (sensitivity = 0.005 nT) rigidly mounted to the aircraft. Differences in magnetic values at the intersections of control and traverse lines were computer-analyzed to obtain a naturally levitated set of flight-line magnetic data. The levitated values were then interpolated to a 100 m grid. The International Geodetic Reference Field (IGRF) defined at the average GPS altitude of 510 m for the year 2010.61 was removed. Removal of the IGRF, representing the magnetic field of the Earth's core, produces a residual component related essentially to magnetism within the Earth's crust.

The first vertical derivative of the magnetic field is the rate of change of the magnetic field in the vertical direction. Computation of the first vertical derivative removes long wavelength features of the magnetic field and significantly improves the resolution of closely spaced and superposed anomalies. A property of first vertical derivative maps is the coincidence of zero-value contour with vertical contacts of magnetic units at high magnetic latitudes (Hood, 1965).

LEVÉ GÉOPHYSIQUE DE LA PARTIE NORD-OUEST DU BASSIN ATHABASCA, SASKATCHEWAN

Introduction

Un levé géophysique aéroporté combinant l'acquisition de données de spectrométrie gamma et de données magnétiques a été réalisé dans la partie nord-ouest du bassin de l'Athabasca en Saskatchewan par la société Géodis Airborne Surveys. Le levé a été effectué du 24 juillet au 21 septembre 2010, à bord de deux avions Piper PA-31 Navajo (C-GJBA, C-GJB) et d'un Cessna Caravan (C-GLDX). L'espace nominal des lignes de vol était de 400 m et celles des lignes de contrôle de 2 400 m. L'altitude nominale de l'avion était de 125 m au-dessus du niveau de la mer. Des levés de vol étaient effectués à 100 m de hauteur et les lignes de contrôle étaient perpendiculaires. La trajectoire de vol a été restituée par application après le vol de corrections différentes aux données brutes enregistrées avec un récepteur GPS.

Données de spectrométrie gamma

Tous les mesures de rayonnement gamma ont été effectuées à l'aide d'un spectromètre gamma Radiation Solutions RS-500 utilisant cristaux de NaI (TI) de 102x102x400 mm. Le réseau de captage principal se compose de douze cristaux (volume total de 50.4 litres). Deux cristaux (volume total de 8.4 litres) protégés par le réseau principal, ont été utilisés pour déceler les variations du rayonnement naturel causées par le radon atmosphérique. Le dispositif permettant de faire un suivi constant des pics des cristaux et, au moyen d'un algorithme d'interpolation, de gérer le gain pour chacun des cristaux.

Le potassium est mesuré directement à partir des photons gamma de 1 460 keV émis par K^+ , tandis que l'uranium et le thorium sont mesurés indirectement à l'aide d'un spectromètre gamma qui détecte les photons gamma émis par l'uranium et le thorium (^{238}U et ^{232}Th). Les dispositifs de détection sont composés d'équivalents d'uranium et d'équivalents de thorium, soit 6.0 et 6.76. Les plages d'énergie utilisées pour mesurer le potassium, l'uranium et le thorium sont respectivement: de 1 370 à 1 670 keV, de 1 860 à 1 860 keV et de 2 410 à 2 810 keV. Le débit total de dose absorbée par l'air, en nanograys à l'heure, a été déterminé d'après les mesures effectuées dans la plage de 400 à 2 100 keV. Le débit total de dose absorbée par l'air, en nanograys à l'heure, a été déterminé d'après les mesures effectuées dans la plage de 400 à 2 100 keV.

Les spectres de rayonnement gamma ont été enregistrés à intervalle d'une seconde. Le traitement des données a suivi les procédures standards décrites dans IAEA, 1991 et IAEA, 2003. Pendant le traitement, les spectres ont été soustraits à l'ensemble des cristaux et les résultats ont été convertis en unités de dose absorbée par l'air. Des corrections ont été appliquées pour tenir compte de l'absorption dans les cristaux et pour éliminer les interférences entre les cristaux adjacents. Les corrections ont également été appliquées pour tenir compte de la diffusion spectrale dans le sol, l'air et les capteurs. Les corrections pour les pertes d'énergie ont été effectuées à l'aide d'un modèle de diffusion basé sur une énergie moyenne. Les corrections pour la densité de la roche ont été effectuées à l'aide d'un modèle de densité de roche basé sur la densité de la roche de référence. Les facteurs pour le potassium, l'uranium et le thorium sont présentés dans le Tableau 1. Pour la mise en carte, un filtre a été appliqué aux données corrigées, qui ont ensuite été interpolées sur une grille à intervalle de 100 m.

	C-GJBA	C-GJB	C-GLDX
Potassium (cps%)	63.27	62.05	99.73
Uranium (cps/pm)	10.48	10.88	10.30
Thorium (cps/pm)	5.61	5.73	5.73

Tableau 1. Sensibilités des spectromètres de chacun des avions.

Les résultats d'un levé aéroporté de spectrométrie gamma représentent les concentrations moyennes à la surface. Celles-ci sont influencées par les étendues variées des affleurements, des morts-mans, de la couverture végétale et de l'eau de surface. Par conséquent, les concentrations mesurées sont habituellement plus faibles que les concentrations réelles dans le substratum rocheux.

Le champ magnétique a été échantillonné 10 fois par seconde à l'aide d'un magnétomètre à vapeur de cézium partagé (sensibilité = 0.005 nT) rapidement fixé à l'avion. Les différences de valeur du champ magnétique aux intersections des lignes de contrôle et des lignes de levé ont été obtenues à l'aide d'un ensemble de données sur le champ magnétique mutuellement orthogonaux aux lignes de vol. Ces différences ont ensuite été interpolées à l'aide d'une grille à 100 m de largeur. Le champ magnétique terrestre (IGRF) défini à l'altitude moyenne de 1 000 à 1 600 m et à l'heure moyenne de 2010.61 a été soustrait. La soustraction de l'IGRF, qui représente le champ magnétique du noyau terrestre, fournit une composante résiduelle essentiellement reliée à la magnétisation de l'écoulement ferreux.

La dérivée première verticale du champ magnétique représente le taux varie du champ magnétique suivant la verticale. La calcul de la dérivée première verticale supprime les composantes de grande longueur d'onde du champ magnétique et améliore considérablement la résolution des anomalies rapprochées des unes des autres ou superposées. L'une des propriétés des cartes de la dérivée première verticale est la coïncidence de l'isogamme de valeur zéro et des contacts verticaux aux hautes latitudes magnétiques (Hood, 1965).

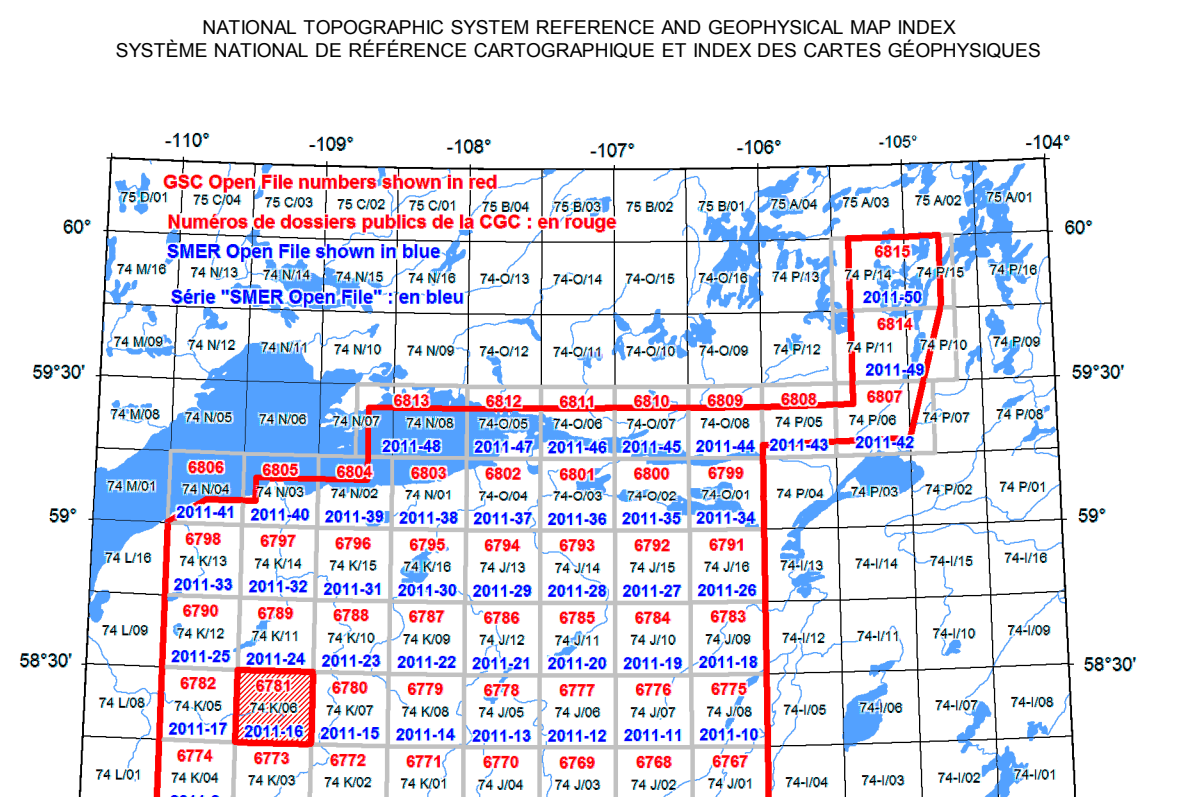
References / Références

Hood, P.J. 1965. Gradient measurements in aeromagnetic surveying. Geophysics, v.30, p.891-902.
International Atomic Energy Agency, 1991. Airborne gamma ray spectrometer surveying. Technical Reports Series 323, IAEA, Vienna.
International Atomic Energy Agency, 2003. Guide lines for radionuclide mapping using gamma ray spectrometry data. Technical Reports Series 1363, IAEA, Vienna.

PLANIMETRIC SYMBOLS / SYMBOLES PLANIMÉTRIQUES

Drainage	Drainage
Highway	Autoroute
Flight line	1156 >	Ligne de vol

NATIONAL TOPOGRAPHIC SYSTEM REFERENCE AND GEOPHYSICAL MAP INDEX SYSTÈME NATIONAL DE RÉFÉRENCE CARTOGRAPHIQUE ET INDEX DES CARTES GÉOPHYSIQUES



AIRBORNE GEOPHYSICAL SURVEY OF THE NORTHWESTERN ATHABASCA BASIN, SASKATCHEWAN

LEVÉ GÉOPHYSIQUE AÉROPORTÉ DE LA PARTIE NORD-OUEST DU BASSIN ATHABASCA, SASKATCHEWAN